

Anhang 7

Pure Specification Bias

ANHANG 7: Tabellen und Abbildungen zu Abschnitt 3.1 des Hauptberichtes

Tabellen zu Abschnitt 3.1 des Hauptberichtes

Die Tabellen 1 bis 9 beinhalten die Ergebnisse der auf Grundlage des logistischen Risikomodells ausgewerteten *aggregierten* Daten. Die Tabellen 10 bis 18 enthalten die Ergebnisse des exponentiellen Risikomodells. In allen Tabellen stellen die durch rote Schriftfarbe gekennzeichneten, links eingerückten Werte die über die jeweils 1000 Durchläufe gemittelten ökologischen Risikoparameterschätzungen dar; die mit grüner Schrift gekennzeichneten, zentrierten Werte entsprechen der mittleren quadratischen Abweichung der 1000 ökologischen Parameterschätzungen vom "wahren" Risikoparameter; die schwarzen, rechts eingerückten Werte geben an, in wieviel Prozent der 1000 Simulationdurchläufe der wahre Risikoparameter im 95%-Konfidenzintervall des geschätzten ökologischen Risikoparameters liegt.

Tabelle 1: Ergebnisse der Auswertung aggregierter Daten mit logistischem Risikomodell für $\beta_{true} = 1,00$, $p_0 = 0,01$ ($\frac{1}{1000} \sum \hat{\beta}_{eco}$ rot, $\frac{1}{1000} \sum (\beta_{true} - \hat{\beta}_{eco})^2$ grün und % der 1000 Durchläufe, bei denen β_{true} im 95%-KI von $\hat{\beta}_{eco}$ liegt)

| Varianz zwischen den Gruppen | Varianz innerhalb der Gruppen | | | | |
|------------------------------|-------------------------------|----------------------|----------------------|---------------------|---------------------|
| | 0,01 | 0,25 | 1 | 5 | 10 |
| 0,02 | 1,01 0,0248 93 | 0,99 0,0220 94 | 0,88 0,0278 83 | 0,70 0,0973 4 | 0,57 0,1900 0 |
| 0,14 | 1,01 0,0043 93 | 0,97 0,0049 90 | 0,86 0,0232 22 | 0,69 0,0970 0 | 0,63 0,1388 0 |
| 0,54 | 1,01 0,0016 91 | 0,98 0,0017 86 | 0,85 0,0219 0 | 0,71 0,0876 0 | 0,66 0,1166 0 |
| 1,22 | 1,01 0,0014 87 | 0,98 0,0014 75 | 0,86 0,0208 0 | 0,73 0,0713 0 | 0,70 0,0926 0 |
| 2,17 | 1,04 0,0083 85 | 0,99 0,0047 73 | 0,91 0,0124 7 | 0,82 0,0354 2 | 0,80 0,0497 3 |

Tabelle 2: Ergebnisse der Auswertung aggregierter Daten mit logistischem Risikomodell für $\beta_{true} = 1,00$, $p_0 = 0,05$ ($\frac{1}{1000} \sum \hat{\beta}_{eco}$ rot, $\frac{1}{1000} \sum (\beta_{true} - \hat{\beta}_{eco})^2$ grün und % der 1000 Durchläufe, bei denen β_{true} im 95%-KI von $\hat{\beta}_{eco}$ liegt)

| Varianz zwischen den Gruppen | Varianz innerhalb der Gruppen | | | | |
|------------------------------|-------------------------------|----------------------|----------------------|---------------------|---------------------|
| | 0,01 | 0,25 | 1 | 5 | 10 |
| 0,02 | 1,00 0,0097 93 | 0,95 0,0110 91 | 0,86 0,0283 60 | 0,63 0,1389 0 | 0,49 0,2627 0 |
| 0,14 | 1,00 0,0017 95 | 0,95 0,0039 75 | 0,85 0,0227 2 | 0,69 0,0955 0 | 0,61 0,1551 0 |
| 0,54 | 1,00 0,0005 92 | 0,95 0,0027 35 | 0,86 0,0204 0 | 0,72 0,0806 0 | 0,65 0,1230 0 |
| 1,22 | 1,00 0,0003 90 | 0,95 0,0024 15 | 0,87 0,0174 0 | 0,74 0,0682 0 | 0,68 0,1044 0 |
| 2,17 | 1,00 0,0003 89 | 0,96 0,0016 23 | 0,90 0,0107 0 | 0,78 0,0494 0 | 0,72 0,0811 0 |

Tabelle 3: Ergebnisse der Auswertung aggregierter Daten mit logistischem Risikomodell für $\beta_{true} = 1,00$, $p_0 = 0,10$ ($\frac{1}{1000} \sum \hat{\beta}_{eco}$ rot, $\frac{1}{1000} \sum (\beta_{true} - \hat{\beta}_{eco})^2$ grün und % der 1000 Durchläufe, bei denen β_{true} im 95%-KI von $\hat{\beta}_{eco}$ liegt)

| Varianz zwischen den Gruppen | Varianz innerhalb der Gruppen | | | | |
|------------------------------|-------------------------------|----------------------|----------------------|---------------------|---------------------|
| | 0,01 | 0,25 | 1 | 5 | 10 |
| 0,02 | 1,00 0,0090 95 | 0,96 0,0106 92 | 0,85 0,0287 56 | 0,61 0,1571 0 | 0,46 0,2965 0 |
| 0,14 | 1,00 0,0015 95 | 0,95 0,0038 72 | 0,86 0,0196 4 | 0,69 0,0956 0 | 0,60 0,1653 0 |
| 0,54 | 1,00 0,0004 94 | 0,95 0,0025 35 | 0,87 0,0178 0 | 0,72 0,0794 0 | 0,64 0,1297 0 |
| 1,22 | 1,00 0,0002 92 | 0,96 0,0020 21 | 0,88 0,0145 0 | 0,74 0,0685 0 | 0,66 0,1133 0 |
| 2,17 | 1,00 0,0002 88 | 0,97 0,0014 28 | 0,90 0,0098 0 | 0,76 0,0559 0 | 0,69 0,0970 0 |

Tabelle 4: Ergebnisse der Auswertung aggregierter Daten mit logistischem Risikomodell für $\beta_{true} = 1,25$, $p_0 = 0,01$ ($\frac{1}{1000} \sum \hat{\beta}_{eco}$ rot, $\frac{1}{1000} \sum (\beta_{true} - \hat{\beta}_{eco})^2$ grün und % der 1000 Durchläufe, bei denen β_{true} im 95%-KI von $\hat{\beta}_{eco}$ liegt)

| Varianz zwischen den Gruppen | Varianz innerhalb der Gruppen | | | | |
|------------------------------|-------------------------------|----------------------|----------------------|---------------------|----------------------|
| | 0,01 | 0,25 | 1 | 5 | 10 |
| 0,02 | 1,26 0,0150 96 | 1,18 0,0189 88 | 1,00 0,0723 25 | 0,73 0,2759 0 | 0,57 0,4675 0 |
| 0,14 | 1,26 0,0029 93 | 1,17 0,0081 63 | 0,99 0,0694 0 | 0,76 0,2386 0 | 0,67 0,3386 0 |
| 0,54 | 1,26 0,0010 91 | 1,17 0,0067 21 | 0,99 0,0675 0 | 0,78 0,2177 0 | 0,72 0,2863 0 |
| 1,22 | 1,26 0,0009 85 | 1,17 0,0063 10 | 1,00 0,0624 0 | 0,82 0,1852 0 | 0,76 0,24444 0 |
| 2,17 | 1,28 0,0062 83 | 1,20 0,0066 25 | 1,07 0,0367 3 | 0,92 0,1140 2 | 0,85 0,1588 2 |

Tabelle 5: Ergebnisse der Auswertung aggregierter Daten mit logistischem Risikomodell für $\beta_{true} = 1,25$, $p_0 = 0,05$ ($\frac{1}{1000} \sum \hat{\beta}_{eco}$ rot, $\frac{1}{1000} \sum (\beta_{true} - \hat{\beta}_{eco})^2$ grün und % der 1000 Durchläufe, bei denen β_{true} im 95%-KI von $\hat{\beta}_{eco}$ liegt)

| Varianz zwischen den Gruppen | Varianz innerhalb der Gruppen | | | | |
|------------------------------|-------------------------------|----------------------|----------------------|---------------------|---------------------|
| | 0,01 | 0,25 | 1 | 5 | 10 |
| 0,02 | 1,25 0,0093 95 | 1,16 0,0175 81 | 1,00 0,0694 15 | 0,69 0,3237 0 | 0,51 0,5518 0 |
| 0,14 | 1,25 0,0015 94 | 1,16 0,0101 31 | 1,01 0,0581 0 | 0,78 0,2250 0 | 0,66 0,3474 0 |
| 0,54 | 1,25 0,0005 91 | 1,16 0,0079 2 | 1,02 0,0523 0 | 0,81 0,1935 0 | 0,72 0,2847 0 |
| 1,22 | 1,25 0,0003 89 | 1,17 0,0066 0 | 1,04 0,0445 0 | 0,84 0,1686 0 | 0,75 0,2509 0 |
| 2,17 | 1,26 0,0004 85 | 1,19 0,0042 5 | 1,08 0,0291 0 | 0,89 0,1317 0 | 0,80 0,2055 0 |

Tabelle 6: Ergebnisse der Auswertung aggregierter Daten mit logistischem Risikomodell für $\beta_{true} = 1,25$, $p_0 = 0,10$ ($\frac{1}{1000} \sum \hat{\beta}_{eco}$ rot, $\frac{1}{1000} \sum (\beta_{true} - \hat{\beta}_{eco})^2$ grün und % der 1000 Durchläufe, bei denen β_{true} im 95%-KI von $\hat{\beta}_{eco}$ liegt)

| Varianz zwischen den Gruppen | Varianz innerhalb der Gruppen | | | | |
|------------------------------|-------------------------------|----------------------|----------------------|---------------------|---------------------|
| | 0,01 | 0,25 | 1 | 5 | 10 |
| 0,02 | 1,24 0,0109 94 | 1,17 0,0157 86 | 1,02 0,0619 26 | 0,67 0,3362 0 | 0,49 0,5783 0 |
| 0,14 | 1,25 0,0020 94 | 1,17 0,0076 53 | 1,04 0,0472 0 | 0,79 0,2127 0 | 0,66 0,3536 0 |
| 0,54 | 1,25 0,0006 91 | 1,18 0,0059 11 | 1,05 0,0410 0 | 0,82 0,1826 0 | 0,71 0,2867 0 |
| 1,22 | 1,25 0,0004 91 | 1,18 0,0048 8 | 1,07 0,0345 0 | 0,85 0,1636 0 | 0,74 0,2576 0 |
| 2,17 | 1,26 0,0005 84 | 1,20 0,0030 20 | 1,10 0,0240 0 | 0,88 0,1362 0 | 0,78 0,2244 0 |

Tabelle 7: Ergebnisse der Auswertung aggregierter Daten mit logistischem Risikomodell für $\beta_{true} = 1,50$, $p_0 = 0,01$ ($\frac{1}{1000} \sum \hat{\beta}_{eco}$ rot, $\frac{1}{1000} \sum (\beta_{true} - \hat{\beta}_{eco})^2$ grün und % der 1000 Durchläufe, bei denen β_{true} im 95%-KI von $\hat{\beta}_{eco}$ liegt)

| Varianz zwischen den Gruppen | Varianz innerhalb der Gruppen | | | | |
|------------------------------|-------------------------------|----------------------|---------------------|---------------------|---------------------|
| | 0,01 | 0,25 | 1 | 5 | 10 |
| 0,02 | 1,50 0,0124 92 | 1,35 0,0335 63 | 1,10 0,1634 1 | 0,75 0,5634 0 | 0,59 0,8541 0 |
| 0,14 | 1,50 0,0020 93 | 1,35 0,0252 3 | 1,11 0,1557 0 | 0,82 0,4607 0 | 0,71 0,6301 0 |
| 0,54 | 1,50 0,0008 91 | 1,36 0,0215 0 | 1,12 0,1477 0 | 0,85 0,4180 0 | 0,76 0,5434 0 |
| 1,22 | 1,51 0,0007 87 | 1,36 0,0196 0 | 1,14 0,1324 0 | 0,89 0,3669 0 | 0,81 0,4793 0 |
| 2,17 | 1,53 0,0079 84 | 1,39 0,0146 3 | 1,22 0,0827 2 | 1,00 0,2526 2 | 0,91 0,3462 2 |

Tabelle 8: Ergebnisse der Auswertung aggregierter Daten mit logistischem Risikomodell für $\beta_{true} = 1,50$, $p_0 = 0,05$ ($\frac{1}{1000} \sum \hat{\beta}_{eco}$ rot, $\frac{1}{1000} \sum (\beta_{true} - \hat{\beta}_{eco})^2$ grün und % der 1000 Durchläufe, bei denen β_{true} im 95%-KI von $\hat{\beta}_{eco}$ liegt)

| Varianz zwischen den Gruppen | Varianz innerhalb der Gruppen | | | | |
|------------------------------|-------------------------------|--------|--------|--------|--------|
| | 0,01 | 0,25 | 1 | 5 | 10 |
| 0,02 | 1,50 | 1,36 | 1,14 | 0,73 | 0,53 |
| | 0,0108 | 0,0285 | 0,1359 | 0,5903 | 0,9459 |
| | 95 | 68 | 2 | 0 | 0 |
| 0,14 | 1,50 | 1,37 | 1,17 | 0,86 | 0,71 |
| | 0,0020 | 0,0186 | 0,1107 | 0,4164 | 0,6224 |
| | 93 | 9 | 0 | 0 | 0 |
| 0,54 | 1,50 | 1,38 | 1,18 | 0,90 | 0,77 |
| | 0,0007 | 0,0157 | 0,1003 | 0,3658 | 0,5274 |
| | 92 | 0 | 0 | 0 | 0 |
| 1,22 | 1,51 | 1,39 | 1,21 | 0,93 | 0,81 |
| | 0,0007 | 0,0126 | 0,0849 | 0,3249 | 0,4724 |
| | 86 | 1 | 0 | 0 | 0 |
| 2,17 | 1,52 | 1,42 | 1,26 | 0,99 | 0,87 |
| | 0,0042 | 0,0080 | 0,0576 | 0,2620 | 0,3975 |
| | 81 | 8 | 0 | 0 | 0 |

Tabelle 9: Ergebnisse der Auswertung aggregierter Daten mit logistischem Risikomodell für $\beta_{true} = 1,50$, $p_0 = 0,10$ ($\frac{1}{1000} \sum \hat{\beta}_{eco}$ rot, $\frac{1}{1000} \sum (\beta_{true} - \hat{\beta}_{eco})^2$ grün und % der 1000 Durchläufe, bei denen β_{true} im 95%-KI von $\hat{\beta}_{eco}$ liegt)

| Varianz zwischen den Gruppen | Varianz innerhalb der Gruppen | | | | |
|------------------------------|-------------------------------|--------|--------|--------|--------|
| | 0,01 | 0,25 | 1 | 5 | 10 |
| 0,02 | 1,51 | 1,39 | 1,19 | 0,74 | 0,52 |
| | 0,0160 | 0,0244 | 0,1057 | 0,5900 | 0,9720 |
| | 94 | 83 | 13 | 0 | 0 |
| 0,14 | 1,50 | 1,40 | 1,21 | 0,87 | 0,71 |
| | 0,0030 | 0,0118 | 0,0846 | 0,3931 | 0,6201 |
| | 93 | 46 | 0 | 0 | 0 |
| 0,54 | 1,51 | 1,41 | 1,23 | 0,92 | 0,78 |
| | 0,0013 | 0,0094 | 0,0744 | 0,3413 | 0,5201 |
| | 89 | 13 | 0 | 0 | 0 |
| 1,22 | 1,52 | 1,42 | 1,25 | 0,95 | 0,81 |
| | 0,0036 | 0,0082 | 0,0626 | 0,3062 | 0,4740 |
| | 86 | 16 | 0 | 0 | 0 |
| 2,17 | 1,52 | 1,48 | 1,29 | 0,99 | 0,85 |
| | 0,0484 | 0,0148 | 0,0443 | 0,2612 | 0,4190 |
| | 81 | 40 | 1 | 0 | 0 |

Tabelle 10: Ergebnisse der Auswertung aggregierter Daten mit exponentiellem Risikomodell für $\beta_{true} = 1,00$, $p_0 = 0,01$ ($\frac{1}{1000} \sum \hat{\beta}_{eco}$ rot, $\frac{1}{1000} \sum (\beta_{true} - \hat{\beta}_{eco})^2$ grün und % der 1000 Durchläufe, bei denen β_{true} im 95%-KI von $\hat{\beta}_{eco}$ liegt)

| Varianz zwischen den Gruppen | Varianz innerhalb der Gruppen | | | | |
|------------------------------|-------------------------------|----------------------|----------------------|---------------------|---------------------|
| | 0,01 | 0,25 | 1 | 5 | 10 |
| 0,02 | 0,90 0,0302 87 | 0,87 0,0343 82 | 0,76 0,0694 36 | 0,57 0,1857 0 | 0,47 0,2864 0 |
| 0,14 | 0,90 0,0140 55 | 0,85 0,0245 26 | 0,73 0,0739 0 | 0,57 0,1879 0 | 0,52 0,2343 0 |
| 0,54 | 0,89 0,0133 12 | 0,85 0,0234 1 | 0,72 0,0765 0 | 0,58 0,1777 0 | 0,54 0,2097 0 |
| 1,22 | 0,88 0,0160 3 | 0,84 0,0276 0 | 0,72 0,0800 0 | 0,60 0,1579 0 | 0,58 0,1800 0 |
| 2,17 | 0,88 0,0211 7 | 0,83 0,0329 3 | 0,76 0,0635 3 | 0,68 0,1035 2 | 0,66 0,1183 3 |

Tabelle 11: Ergebnisse der Auswertung aggregierter Daten mit exponentiellem Risikomodell für $\beta_{true} = 1,00$, $p_0 = 0,05$ ($\frac{1}{1000} \sum \hat{\beta}_{eco}$ rot, $\frac{1}{1000} \sum (\beta_{true} - \hat{\beta}_{eco})^2$ grün und % der 1000 Durchläufe, bei denen β_{true} im 95%-KI von $\hat{\beta}_{eco}$ liegt)

| Varianz zwischen den Gruppen | Varianz innerhalb der Gruppen | | | | |
|------------------------------|-------------------------------|-----------------------|---------------------|---------------------|---------------------|
| | 0,01 | 0,25 | 1 | 5 | 10 |
| 0,02 | 0,62 0,1488 0 | 0,58 0,1758 0 | 0,52 0,2308 0 | 0,40 0,3572 0 | 0,33 0,4557 0 |
| 0,14 | 0,62 0,1470 0 | 0,58 0,1743 0 | 0,52 0,2301 0 | 0,44 0,3117 0 | 0,40 0,3564 0 |
| 0,54 | 0,61 0,1516 0 | 0,58 0,1780 0 | 0,52 0,2300 0 | 0,46 0,2937 0 | 0,43 0,3210 0 |
| 1,22 | 0,60 0,1574 0 | 0,57 0,1829 0 | 0,52 0,2267 0 | 0,48 0,2753 0 | 0,46 0,2965 0 |
| 2,17 | 0,5962 0,1631 0 | 0,5718 0,1835 0 | 0,54 0,2098 0 | 0,51 0,2425 0 | 0,49 0,2611 0 |

Tabelle 12: Ergebnisse der Auswertung aggregierter Daten mit exponentiellem Risikomodell für $\beta_{true} = 1,00$, $p_0 = 0,10$ ($\frac{1}{1000} \sum \hat{\beta}_{eco}$ rot, $\frac{1}{1000} \sum (\beta_{true} - \hat{\beta}_{eco})^2$ grün und % der 1000 Durchläufe, bei denen β_{true} im 95%-KI von $\hat{\beta}_{eco}$ liegt)

| Varianz zwischen den Gruppen | Varianz innerhalb der Gruppen | | | | |
|------------------------------|-------------------------------|---------------------|---------------------|---------------------|---------------------|
| | 0,01 | 0,25 | 1 | 5 | 10 |
| 0,02 | 0,45 0,3048 0 | 0,43 0,3227 0 | 0,40 0,3628 0 | 0,32 0,4630 0 | 0,26 0,5505 0 |
| 0,14 | 0,45 0,3028 0 | 0,43 0,3240 0 | 0,40 0,3552 0 | 0,36 0,4042 0 | 0,34 0,4417 0 |
| 0,54 | 0,45 0,3003 0 | 0,43 0,3206 0 | 0,41 0,3515 0 | 0,38 0,3844 0 | 0,36 0,4054 0 |
| 1,22 | 0,46 0,2954 0 | 0,44 0,3158 0 | 0,42 0,3412 0 | 0,38 0,3664 0 | 0,38 0,3839 0 |
| 2,17 | 0,46 0,2900 0 | 0,45 0,3056 0 | 0,43 0,3210 0 | 0,42 0,3415 0 | 0,40 0,3580 0 |

Tabelle 13: Ergebnisse der Auswertung aggregierter Daten mit exponentiellem Risikomodell für $\beta_{true} = 1,25$, $p_0 = 0,01$ ($\frac{1}{1000} \sum \hat{\beta}_{eco}$ rot, $\frac{1}{1000} \sum (\beta_{true} - \hat{\beta}_{eco})^2$ grün und % der 1000 Durchläufe, bei denen β_{true} im 95%-KI von $\hat{\beta}_{eco}$ liegt)

| Varianz zwischen den Gruppen | Varianz innerhalb der Gruppen | | | | |
|------------------------------|-------------------------------|---------------------|---------------------|---------------------|---------------------|
| | 0,01 | 0,25 | 1 | 5 | 10 |
| 0,02 | 1,02 0,0618 38 | 0,94 0,1069 8 | 0,77 0,2394 0 | 0,55 0,4929 0 | 0,44 0,6655 0 |
| 0,14 | 1,01 0,0579 0 | 0,93 0,1040 0 | 0,76 0,2436 0 | 0,57 0,4568 0 | 0,51 0,5451 0 |
| 0,54 | 0,99 0,0666 0 | 0,91 0,1137 0 | 0,75 0,2509 0 | 0,59 0,4357 0 | 0,55 0,4911 0 |
| 1,22 | 0,96 0,0797 0 | 0,89 0,1292 0 | 0,74 0,2571 0 | 0,62 0,3982 0 | 0,58 0,4430 0 |
| 2,17 | 0,95 0,0923 4 | 0,89 0,1358 3 | 0,79 0,2150 3 | 0,70 0,2987 2 | 0,68 0,3303 2 |

Tabelle 14: Ergebnisse der Auswertung aggregierter Daten mit exponentiellem Risikomodell für $\beta_{true} = 1,25$, $p_0 = 0,05$ ($\frac{1}{1000} \sum \hat{\beta}_{eco}$ rot, $\frac{1}{1000} \sum (\beta_{true} - \hat{\beta}_{eco})^2$ grün und % der 1000 Durchläufe, bei denen β_{true} im 95%-KI von $\hat{\beta}_{eco}$ liegt)

| Varianz zwischen den Gruppen | Varianz innerhalb der Gruppen | | | | |
|------------------------------|-------------------------------|----------------------|---------------------|---------------------|---------------------|
| | 0,01 | 0,25 | 1 | 5 | 10 |
| 0,02 | 0,58 0,4507 0 | 0,54 0,5026 0 | 0,49 0,5811 0 | 0,38 0,7565 0 | 0,30 0,8947 0 |
| 0,14 | 0,58 0,4478 0 | 0,54 0,49990 0 | 0,49 0,5710 0 | 0,43 0,6683 0 | 0,40 0,7301 0 |
| 0,54 | 0,58 0,4423 0 | 0,55 0,4920 0 | 0,50 0,5629 0 | 0,45 0,6349 0 | 0,43 0,6702 0 |
| 1,22 | 0,59 0,4360 0 | 0,55 0,4854 0 | 0,51 0,5473 0 | 0,47 0,6007 0 | 0,46 0,6293 0 |
| 2,17 | 0,60 0,4273 0 | 0,57 0,4656 0 | 0,54 0,5022 0 | 0,51 0,5497 0 | 0,50 0,5651 0 |

Tabelle 15: Ergebnisse der Auswertung aggregierter Daten mit exponentiellem Risikomodell für $\beta_{true} = 1,25$, $p_0 = 0,10$ ($\frac{1}{1000} \sum \hat{\beta}_{eco}$ rot, $\frac{1}{1000} \sum (\beta_{true} - \hat{\beta}_{eco})^2$ grün und % der 1000 Durchläufe, bei denen β_{true} im 95%-KI von $\hat{\beta}_{eco}$ liegt)

| Varianz zwischen den Gruppen | Varianz innerhalb der Gruppen | | | | |
|------------------------------|-------------------------------|---------------------|---------------------|---------------------|---------------------|
| | 0,01 | 0,25 | 1 | 5 | 10 |
| 0,02 | 0,38 0,7631 0 | 0,37 0,7735 0 | 0,36 0,7936 0 | 0,30 0,9009 0 | 0,25 1,0107 0 |
| 0,14 | 0,39 0,7483 0 | 0,38 0,7630 0 | 0,37 0,7780 0 | 0,35 0,8037 0 | 0,33 0,8509 0 |
| 0,54 | 0,40 0,7199 0 | 0,39 0,7415 0 | 0,38 0,7594 0 | 0,37 0,7711 0 | 0,36 0,7925 0 |
| 1,22 | 0,42 0,6825 0 | 0,41 0,7172 0 | 0,40 0,7304 0 | 0,39 0,7413 0 | 0,38 0,7571 0 |
| 2,17 | 0,45 0,6444 0 | 0,43 0,6673 0 | 0,43 0,6788 0 | 0,42 0,6915 0 | 0,40 0,7090 0 |

Tabelle 16: Ergebnisse der Auswertung aggregierter Daten mit exponentiellem Risikomodell für $\beta_{true} = 1,50$, $p_0 = 0,01$ ($\frac{1}{1000} \sum \hat{\beta}_{eco}$ rot, $\frac{1}{1000} \sum (\beta_{true} - \hat{\beta}_{eco})^2$ grün und % der 1000 Durchläufe, bei denen β_{true} im 95%-KI von $\hat{\beta}_{eco}$ liegt)

| Varianz zwischen den Gruppen | Varianz innerhalb der Gruppen | | | | |
|------------------------------|-------------------------------|---------------------|---------------------|---------------------|---------------------|
| | 0,01 | 0,25 | 1 | 5 | 10 |
| 0,02 | 1,04 0,2150 0 | 0,92 0,3446 0 | 0,74 0,5867 0 | 0,52 0,9682 0 | 0,41 1,1864 0 |
| 0,14 | 1,04 0,2163 0 | 0,91 0,3475 0 | 0,74 0,5856 0 | 0,56 0,8754 0 | 0,50 0,9931 0 |
| 0,54 | 1,01 0,2400 0 | 0,90 0,3608 0 | 0,73 0,5924 0 | 0,59 0,8345 0 | 0,55 0,9107 0 |
| 1,22 | 0,98 0,2682 0 | 0,88 0,3867 0 | 0,73 0,5922 0 | 0,62 0,7793 0 | 0,58 0,8400 0 |
| 2,17 | 0,98 0,2824 5 | 0,88 0,3883 2 | 0,78 0,5138 2 | 0,71 0,6247 2 | 0,68 0,6712 1 |

Tabelle 17: Ergebnisse der Auswertung aggregierter Daten mit exponentiellem Risikomodell für $\beta_{true} = 1,50$, $p_0 = 0,05$ ($\frac{1}{1000} \sum \hat{\beta}_{eco}$ rot, $\frac{1}{1000} \sum (\beta_{true} - \hat{\beta}_{eco})^2$ grün und % der 1000 Durchläufe, bei denen β_{true} im 95%-KI von $\hat{\beta}_{eco}$ liegt)

| Varianz zwischen den Gruppen | Varianz innerhalb der Gruppen | | | | |
|------------------------------|-------------------------------|---------------------|---------------------|---------------------|---------------------|
| | 0,01 | 0,25 | 1 | 5 | 10 |
| 0,02 | 0,48 1,0483 0 | 0,46 1,0880 0 | 0,43 1,1372 0 | 0,36 1,3102 0 | 0,29 1,4760 0 |
| 0,14 | 0,48 1,0312 0 | 0,47 1,0689 0 | 0,45 1,1101 0 | 0,42 1,1759 0 | 0,38 1,2440 0 |
| 0,54 | 0,51 0,9786 0 | 0,48 1,0342 0 | 0,46 1,0866 0 | 0,44 1,1277 0 | 0,42 1,1623 0 |
| 1,22 | 0,54 0,9180 0 | 0,51 0,9874 0 | 0,48 1,0426 0 | 0,46 1,0739 0 | 0,45 1,1012 0 |
| 2,17 | 0,57 0,8612 0 | 0,54 0,9151 0 | 0,52 0,9511 0 | 0,51 0,9749 0 | 0,50 1,0006 0 |

Tabelle 18: Ergebnisse der Auswertung aggregierter Daten mit exponentiellem Risikomodell für $\beta_{true} = 1,50$, $p_0 = 0,10$ ($\frac{1}{1000} \sum \hat{\beta}_{eco}$ rot, $\frac{1}{1000} \sum (\beta_{true} - \hat{\beta}_{eco})^2$ grün und % der 1000 Durchläufe, bei denen β_{true} im 95%-KI von $\hat{\beta}_{eco}$ liegt)

| Varianz zwischen den Gruppen | Varianz innerhalb der Gruppen | | | | |
|------------------------------|-------------------------------|---------------------|---------------------|---------------------|---------------------|
| | 0,01 | 0,25 | 1 | 5 | 10 |
| 0,02 | 0,29 1,4754 0 | 0,30 1,4511 0 | 0,31 1,4130 0 | 0,28 1,4900 0 | 0,23 1,6175 0 |
| 0,14 | 0,30 1,4503 0 | 0,30 1,4291 0 | 0,32 1,3899 0 | 0,33 1,3598 0 | 0,32 1,4000 0 |
| 0,54 | 0,33 1,3705 0 | 0,33 1,3727 0 | 0,34 1,3498 0 | 0,36 1,3097 0 | 0,35 1,3224 0 |
| 1,22 | 0,37 1,2665 0 | 0,36 1,2928 0 | 0,37 1,2880 0 | 0,38 1,2594 0 | 0,37 1,2704 0 |
| 2,17 | 0,42 1,1648 0 | 0,41 1,1901 0 | 0,41 1,1887 0 | 0,41 1,1802 0 | 0,41 1,1944 0 |

Abbildungen zu Abschnitt 3.1 des Hauptberichtes

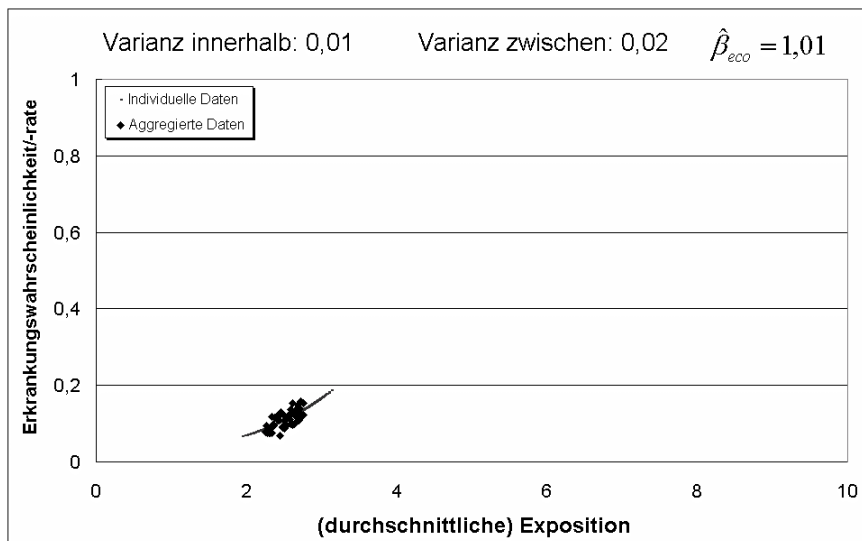


Abbildung 1: Plot der (durchschnittlichen) Exposition gegen die Erkrankungswahrscheinlichkeit/-rate für „wahren“ Risikoparameter mit Wert 1 und Baseline-Erkrankungswahrscheinlichkeit mit Wert 0,01

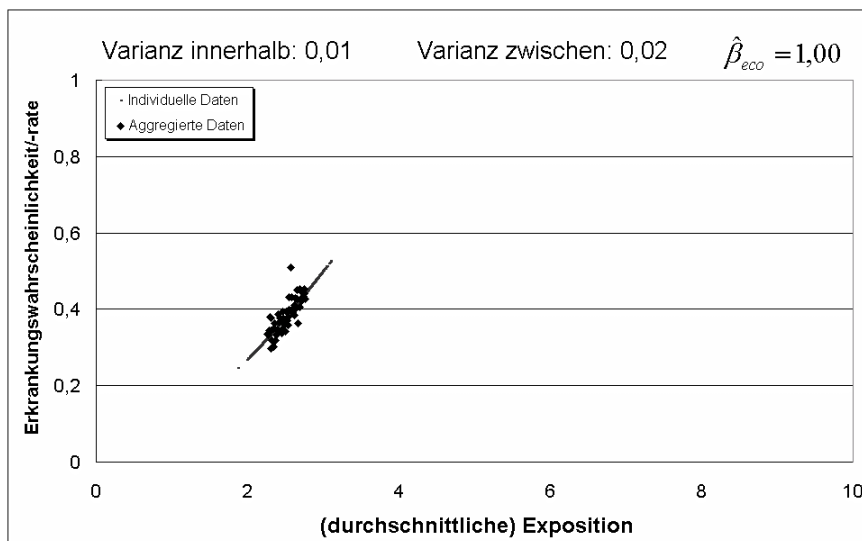


Abbildung 2: Plot der (durchschnittlichen) Exposition gegen die Erkrankungswahrscheinlichkeit/-rate für „wahren“ Risikoparameter mit Wert 1 und Baseline-Erkrankungswahrscheinlichkeit mit Wert 0,05

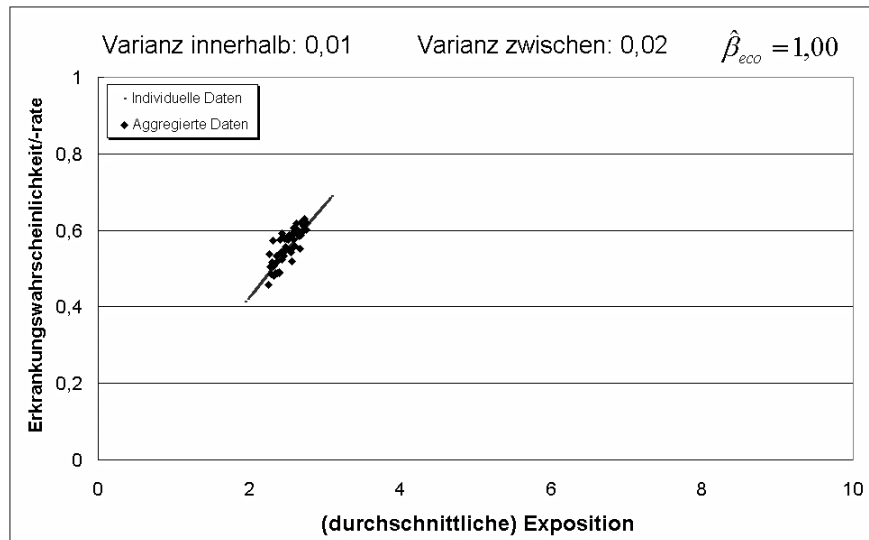


Abbildung 3: Plot der (durchschnittlichen) Exposition gegen die Erkrankungswahrscheinlichkeit/-rate für „wahren“ Risikoparameter mit Wert 1 und Baseline-Erkrankungswahrscheinlichkeit mit Wert 0,10

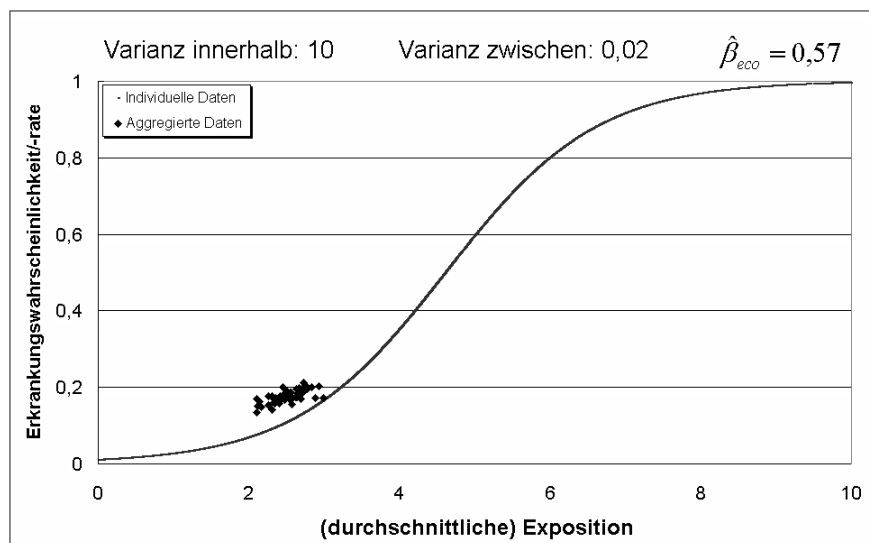


Abbildung 4: Plot der (durchschnittlichen) Exposition gegen die Erkrankungswahrscheinlichkeit/-rate für „wahren“ Risikoparameter mit Wert 1 und Baseline-Erkrankungswahrscheinlichkeit mit Wert 0,01

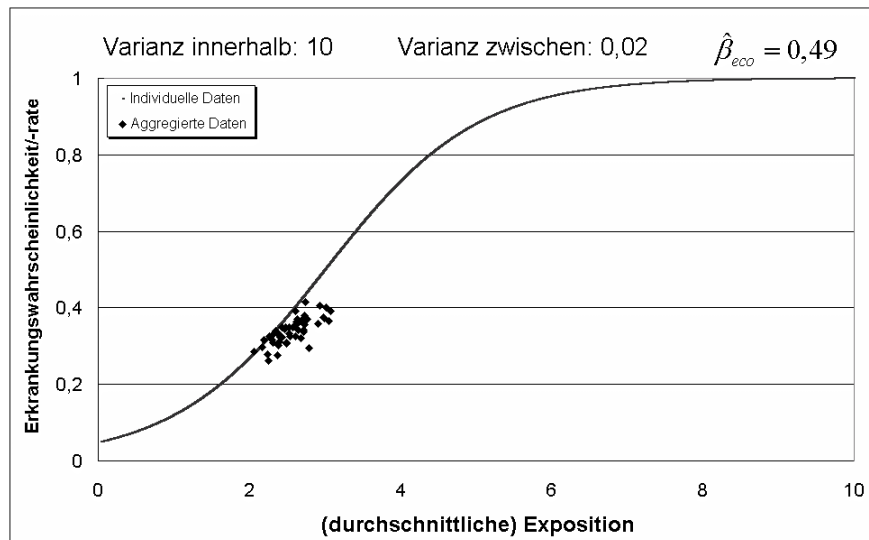


Abbildung 5: Plot der (durchschnittlichen) Exposition gegen die Erkrankungswahrscheinlichkeit/-rate für „wahren“ Risikoparameter mit Wert 1 und Baseline-Erkrankungswahrscheinlichkeit mit Wert 0,05

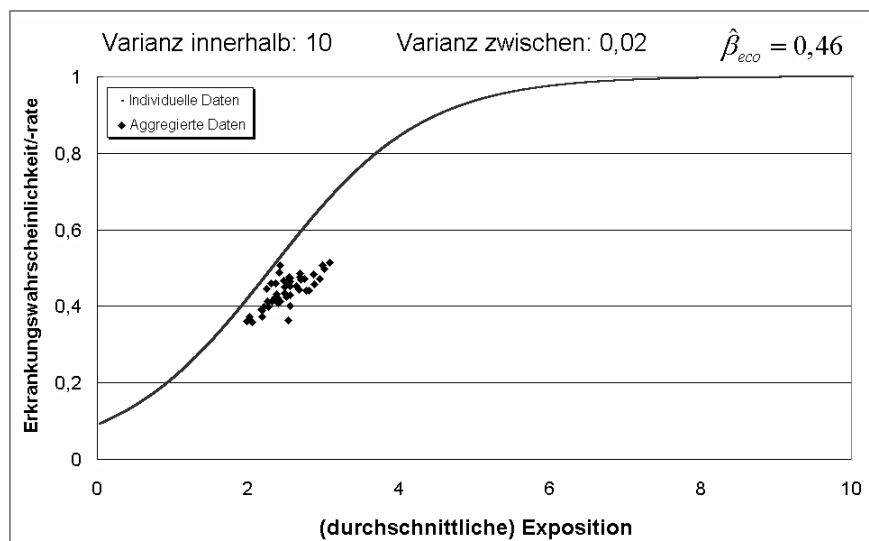


Abbildung 6: Plot der (durchschnittlichen) Exposition gegen die Erkrankungswahrscheinlichkeit/-rate für „wahren“ Risikoparameter mit Wert 1 und Baseline-Erkrankungswahrscheinlichkeit mit Wert 0,10

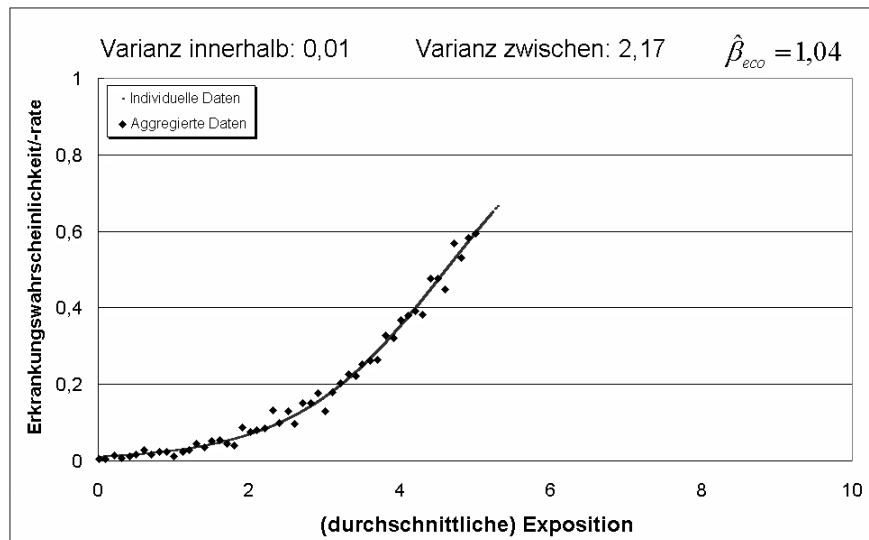


Abbildung 7: Plot der (durchschnittlichen) Exposition gegen die Erkrankungswahrscheinlichkeit/-rate für „wahren“ Risikoparameter mit Wert 1 und Baseline-Erkrankungswahrscheinlichkeit mit Wert 0,01

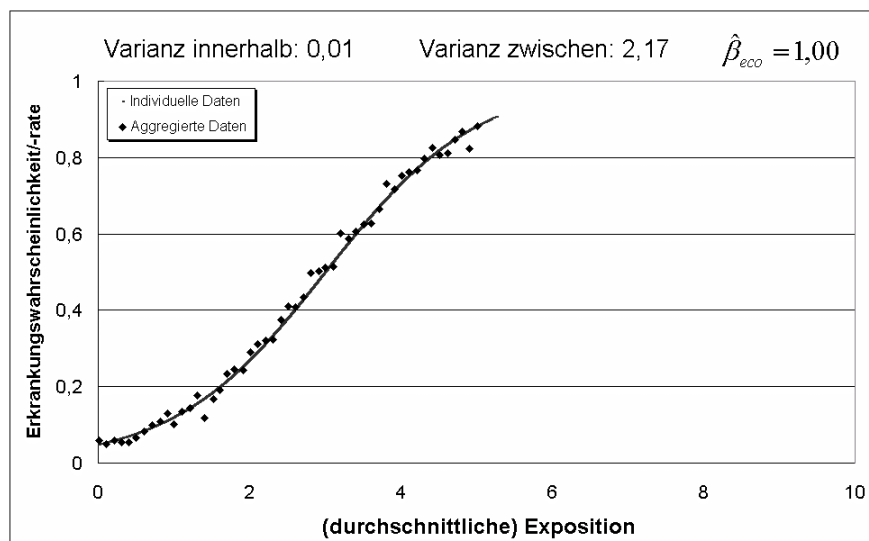


Abbildung 8: Plot der (durchschnittlichen) Exposition gegen die Erkrankungswahrscheinlichkeit/-rate für „wahren“ Risikoparameter mit Wert 1 und Baseline-Erkrankungswahrscheinlichkeit mit Wert 0,05

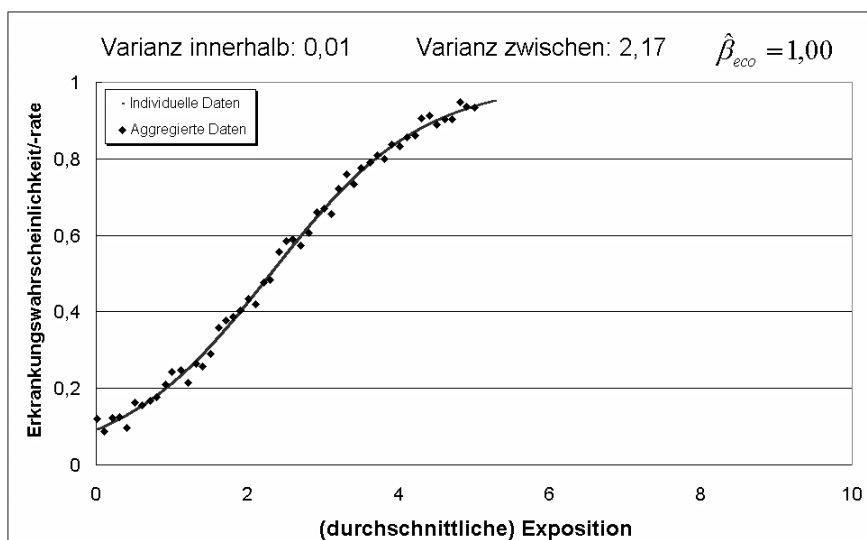


Abbildung 9: Plot der (durchschnittlichen) Exposition gegen die Erkrankungswahrscheinlichkeit/-rate für „wahren“ Risikoparameter mit Wert 1 und Baseline-Erkrankungswahrscheinlichkeit mit Wert 0,10

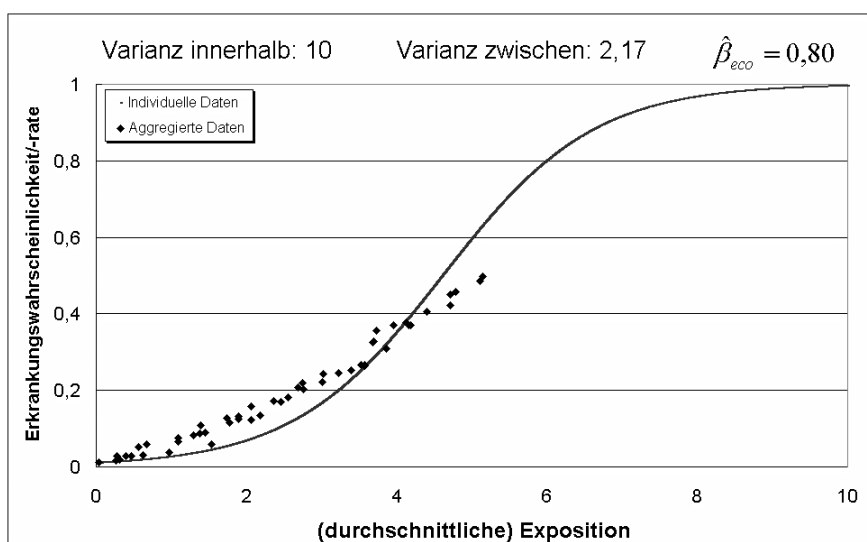


Abbildung 10: Plot der (durchschnittlichen) Exposition gegen die Erkrankungswahrscheinlichkeit/-rate für „wahren“ Risikoparameter mit Wert 1 und Baseline-Erkrankungswahrscheinlichkeit mit Wert 0,01

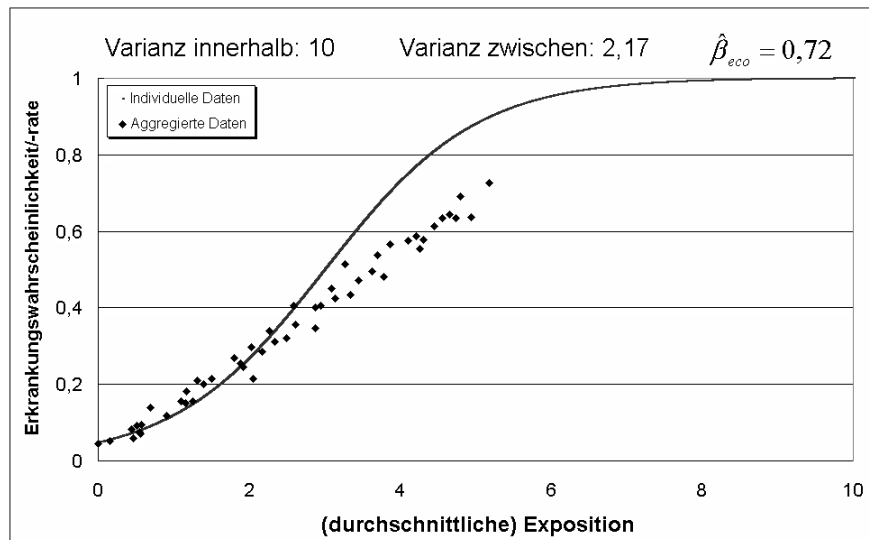


Abbildung 11: Plot der (durchschnittlichen) Exposition gegen die Erkrankungswahrscheinlichkeit/-rate für „wahren“ Risikoparameter mit Wert 1 und Baseline-Erkrankungswahrscheinlichkeit mit Wert 0,05

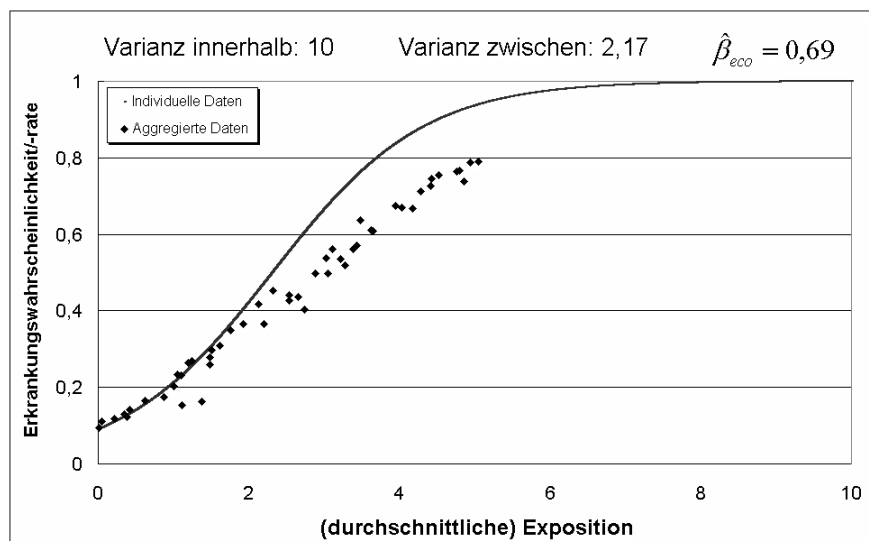


Abbildung 12: Plot der (durchschnittlichen) Exposition gegen die Erkrankungswahrscheinlichkeit/-rate für „wahren“ Risikoparameter mit Wert 1 und Baseline-Erkrankungswahrscheinlichkeit mit Wert 0,10

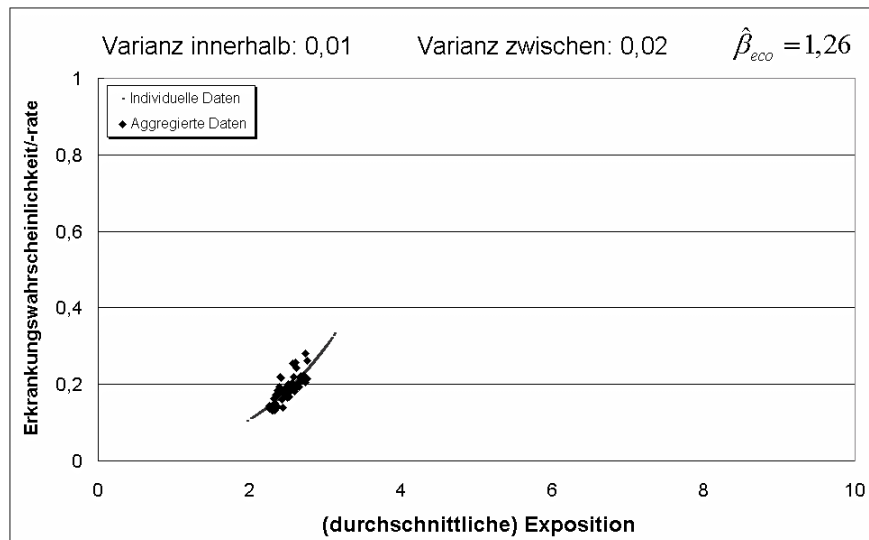


Abbildung 13: Plot der (durchschnittlichen) Exposition gegen die Erkrankungswahrscheinlichkeit/-rate für „wahren“ Risikoparameter mit Wert 1,25 und Baseline-Erkrankungswahrscheinlichkeit mit Wert 0,01

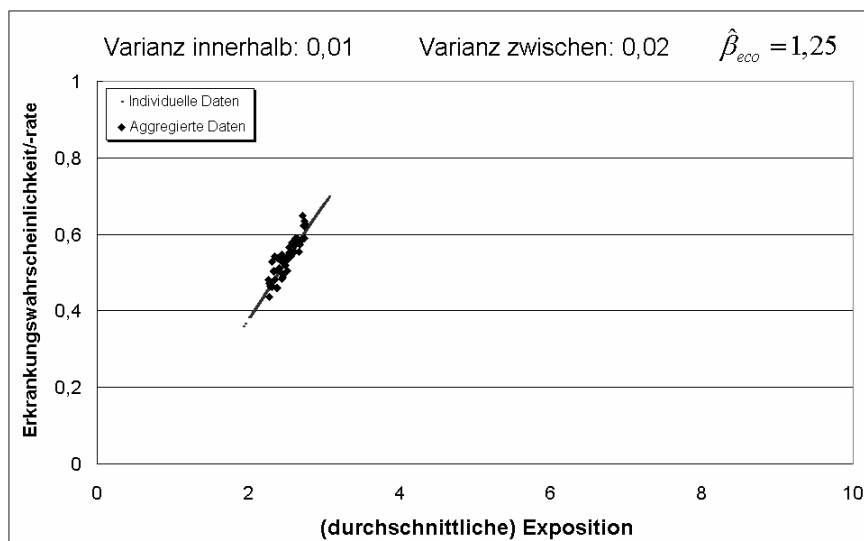


Abbildung 14: Plot der (durchschnittlichen) Exposition gegen die Erkrankungswahrscheinlichkeit/-rate für „wahren“ Risikoparameter mit Wert 1,25 und Baseline-Erkrankungswahrscheinlichkeit mit Wert 0,05

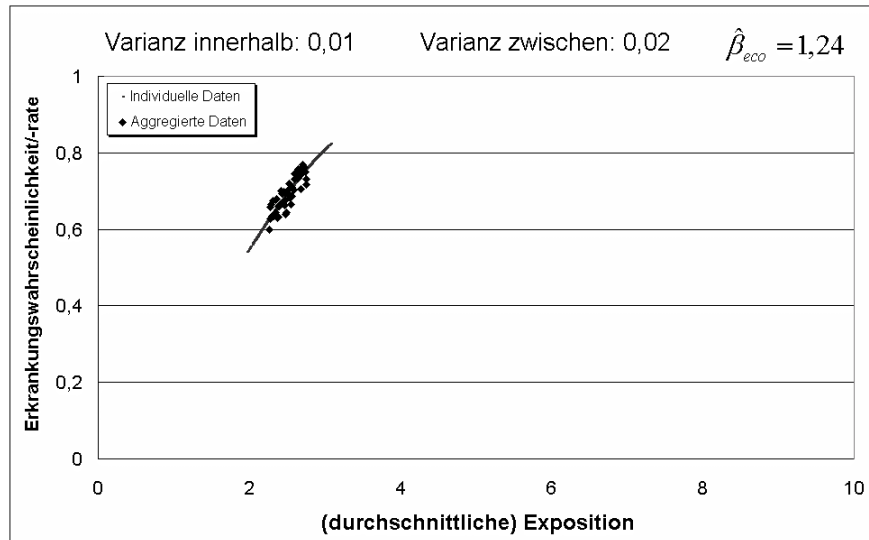


Abbildung 15: Plot der (durchschnittlichen) Exposition gegen die Erkrankungswahrscheinlichkeit/-rate für „wahren“ Risikoparameter mit Wert 1,25 und Baseline-Erkrankungswahrscheinlichkeit mit Wert 0,10

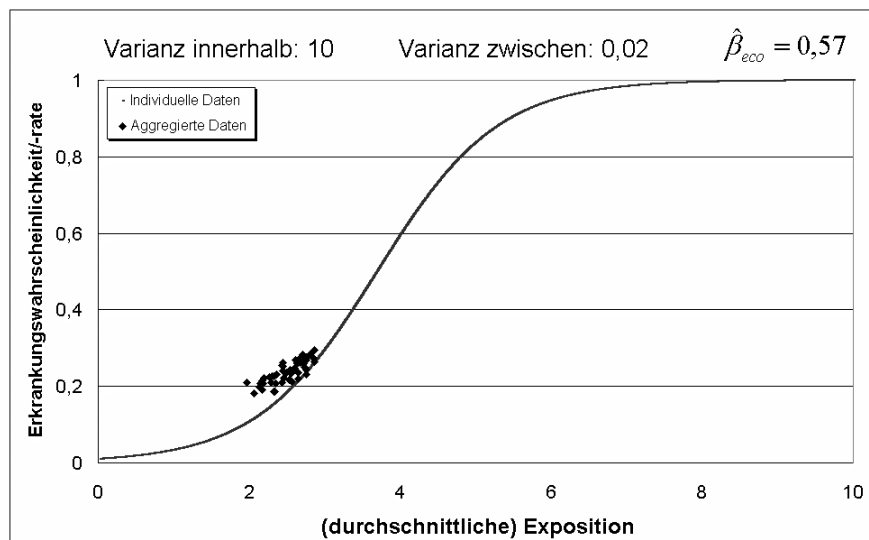


Abbildung 16: Plot der (durchschnittlichen) Exposition gegen die Erkrankungswahrscheinlichkeit/-rate für „wahren“ Risikoparameter mit Wert 1,25 und Baseline-Erkrankungswahrscheinlichkeit mit Wert 0,01

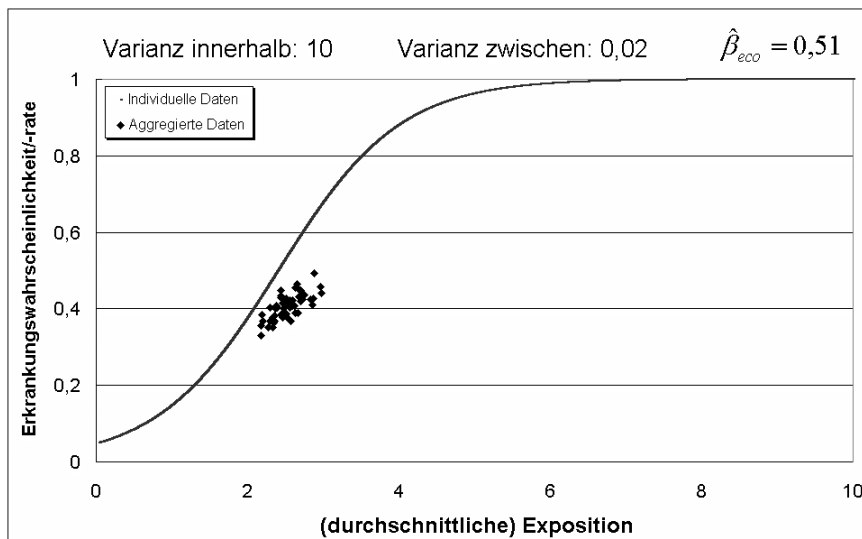


Abbildung 17: Plot der (durchschnittlichen) Exposition gegen die Erkrankungs-wahrscheinlichkeit/-rate für „wahren“ Risikoparameter mit Wert 1,25 und Baseline-Erkrankungs-wahrscheinlichkeit mit Wert 0,05

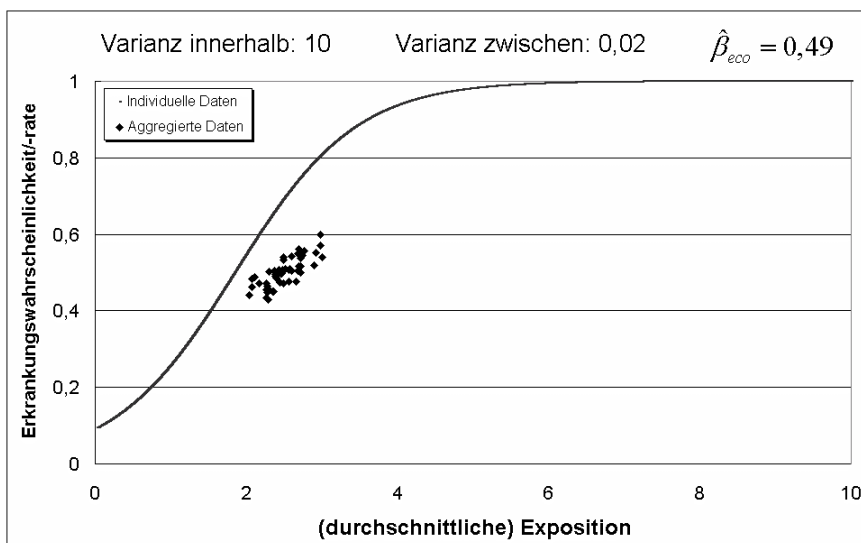


Abbildung 18: Plot der (durchschnittlichen) Exposition gegen die Erkrankungs-wahrscheinlichkeit/-rate für „wahren“ Risikoparameter mit Wert 1,25 und Baseline-Erkrankungs-wahrscheinlichkeit mit Wert 0,10

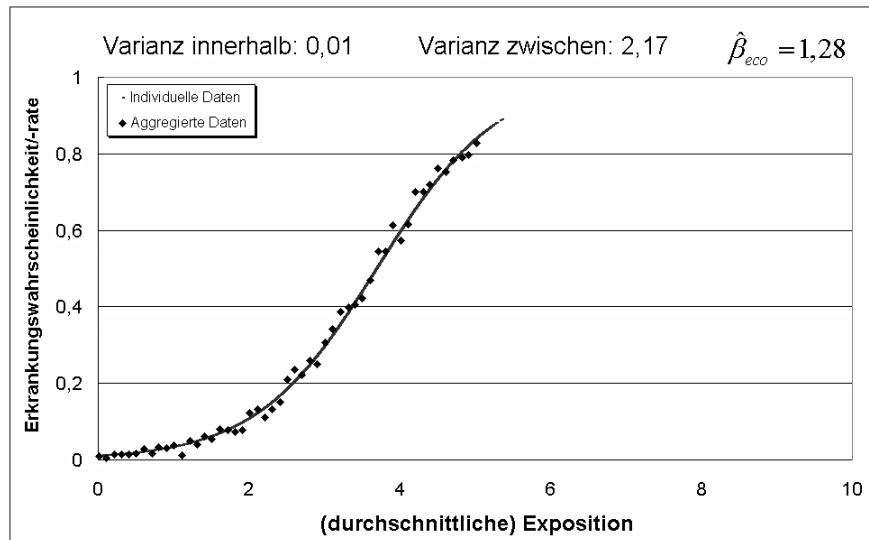


Abbildung 19: Plot der (durchschnittlichen) Exposition gegen die Erkrankungswahrscheinlichkeit/-rate für „wahren“ Risikoparameter mit Wert 1,25 und Baseline-Erkrankungswahrscheinlichkeit mit Wert 0,01

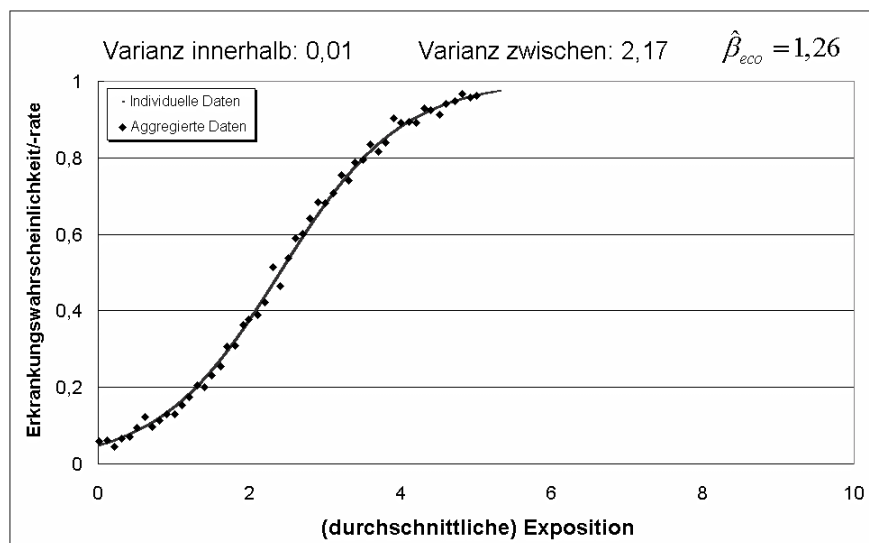


Abbildung 20: Plot der (durchschnittlichen) Exposition gegen die Erkrankungswahrscheinlichkeit/-rate für „wahren“ Risikoparameter mit Wert 1,25 und Baseline-Erkrankungswahrscheinlichkeit mit Wert 0,05

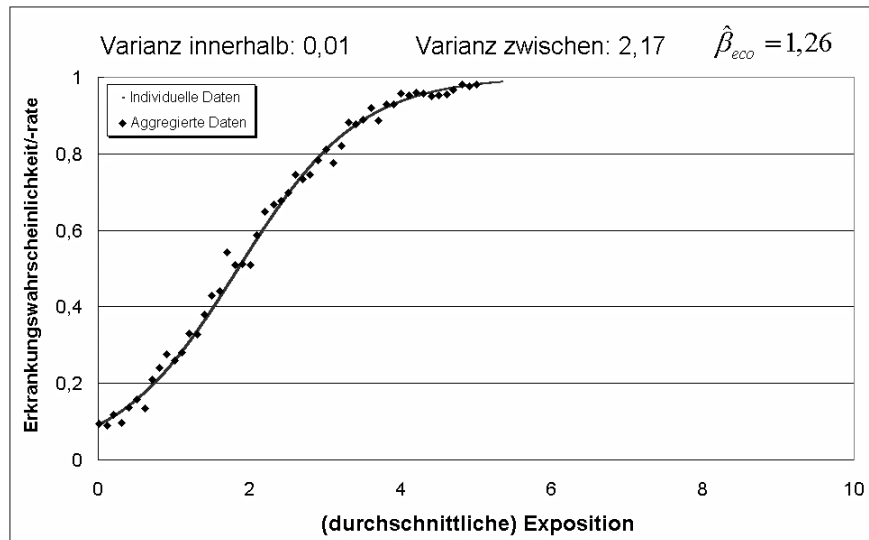


Abbildung 21: Plot der (durchschnittlichen) Exposition gegen die Erkrankungswahrscheinlichkeit/-rate für „wahren“ Risikoparameter mit Wert 1,25 und Baseline-Erkrankungswahrscheinlichkeit mit Wert 0,10

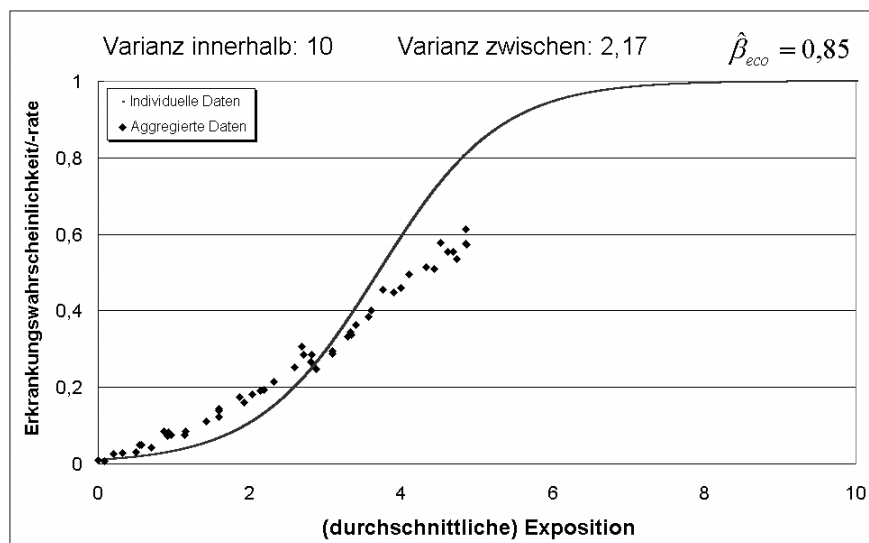


Abbildung 22: Plot der (durchschnittlichen) Exposition gegen die Erkrankungswahrscheinlichkeit/-rate für „wahren“ Risikoparameter mit Wert 1,25 und Baseline-Erkrankungswahrscheinlichkeit mit Wert 0,01

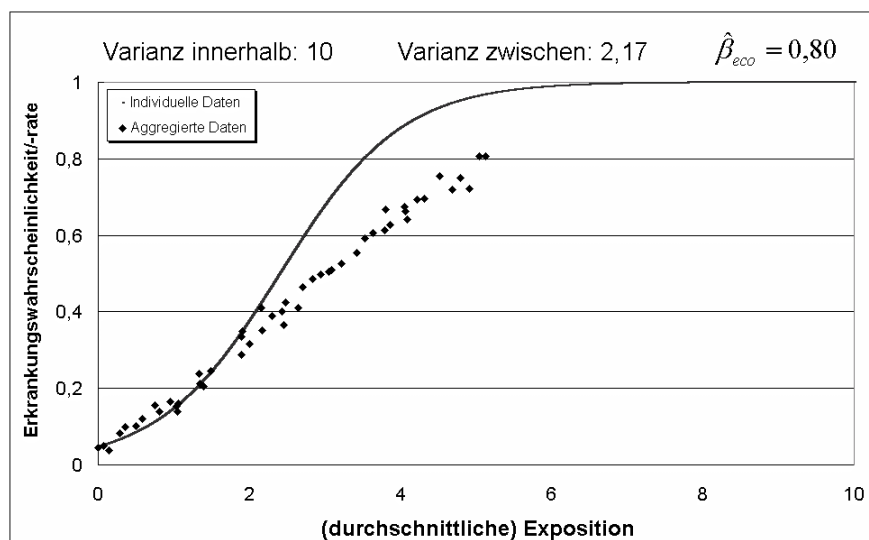


Abbildung 23: Plot der (durchschnittlichen) Exposition gegen die Erkrankungswahrscheinlichkeit/-rate für „wahren“ Risikoparameter mit Wert 1,25 und Baseline-Erkrankungswahrscheinlichkeit mit Wert 0,05

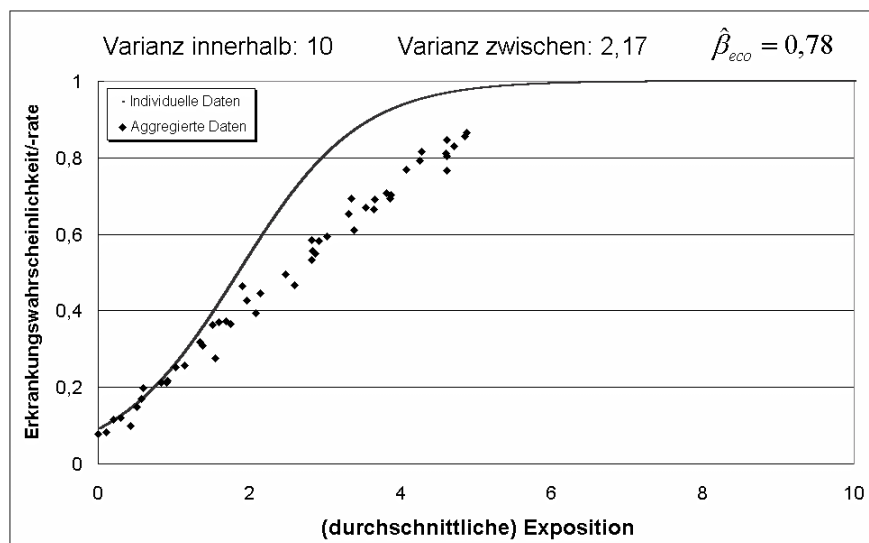


Abbildung 24: Plot der (durchschnittlichen) Exposition gegen die Erkrankungswahrscheinlichkeit/-rate für „wahren“ Risikoparameter mit Wert 1,25 und Baseline-Erkrankungswahrscheinlichkeit mit Wert 0,10

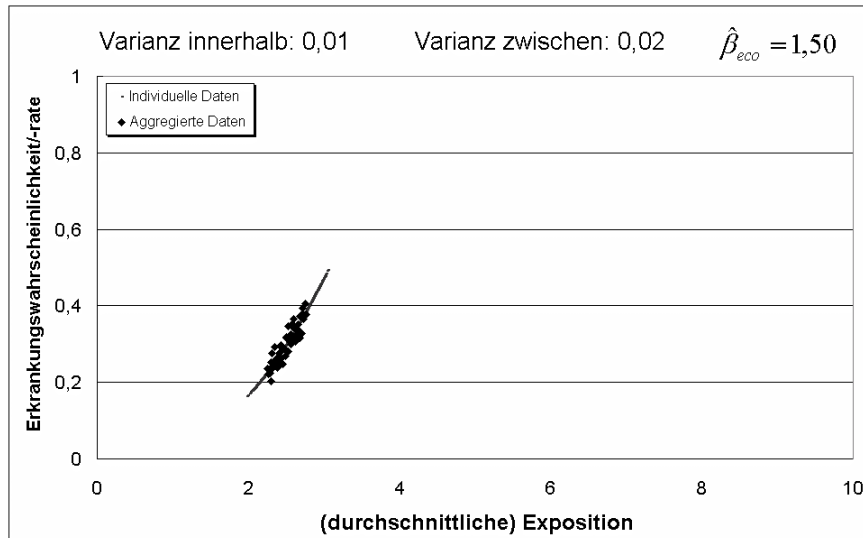


Abbildung 25: Plot der (durchschnittlichen) Exposition gegen die Erkrankungswahrscheinlichkeit/-rate für „wahren“ Risikoparameter mit Wert 1,5 und Baseline-Erkrankungswahrscheinlichkeit mit Wert 0,01

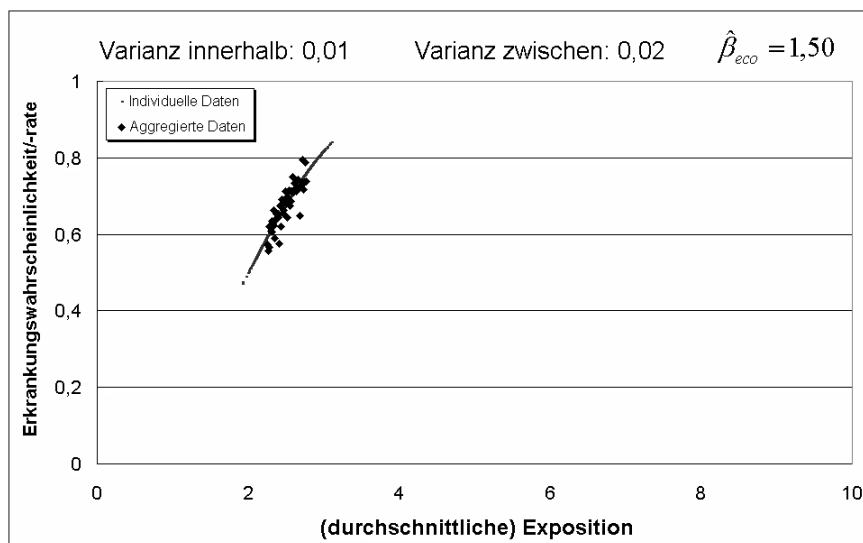


Abbildung 26: Plot der (durchschnittlichen) Exposition gegen die Erkrankungswahrscheinlichkeit/-rate für „wahren“ Risikoparameter mit Wert 1,5 und Baseline-Erkrankungswahrscheinlichkeit mit Wert 0,05

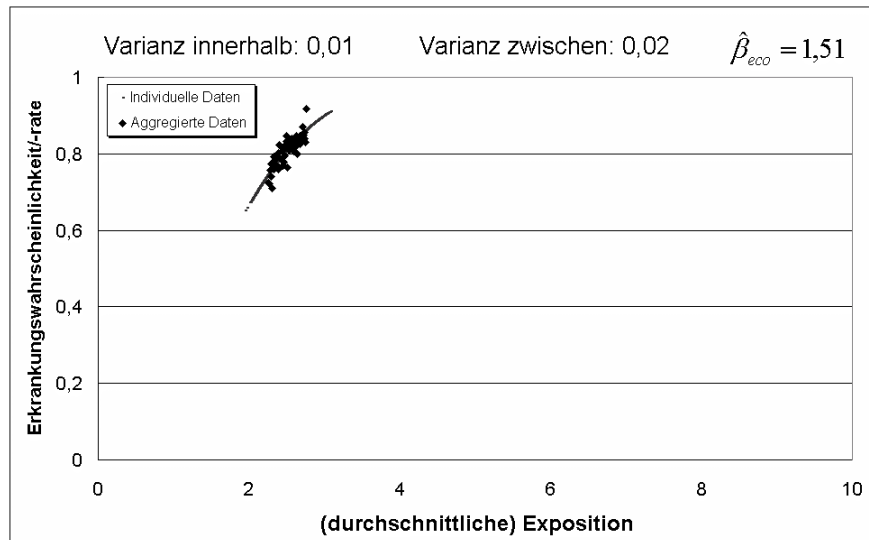


Abbildung 27: Plot der (durchschnittlichen) Exposition gegen die Erkrankungswahrscheinlichkeit/-rate für „wahren“ Risikoparameter mit Wert 1,5 und Baseline-Erkrankungswahrscheinlichkeit mit Wert 0,10

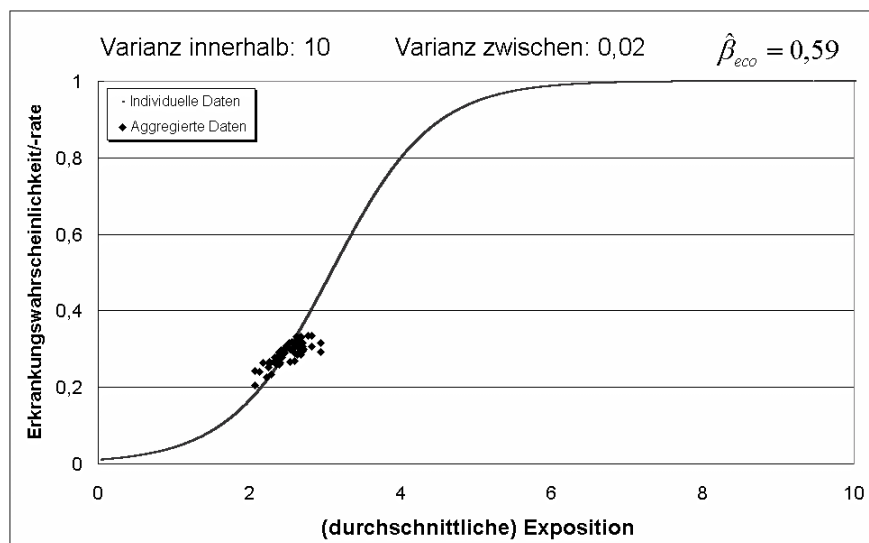


Abbildung 28: der (durchschnittlichen) Exposition gegen die Erkrankungswahrscheinlichkeit/-rate für „wahren“ Risikoparameter mit Wert 1,5 und Baseline-Erkrankungswahrscheinlichkeit mit Wert 0,01

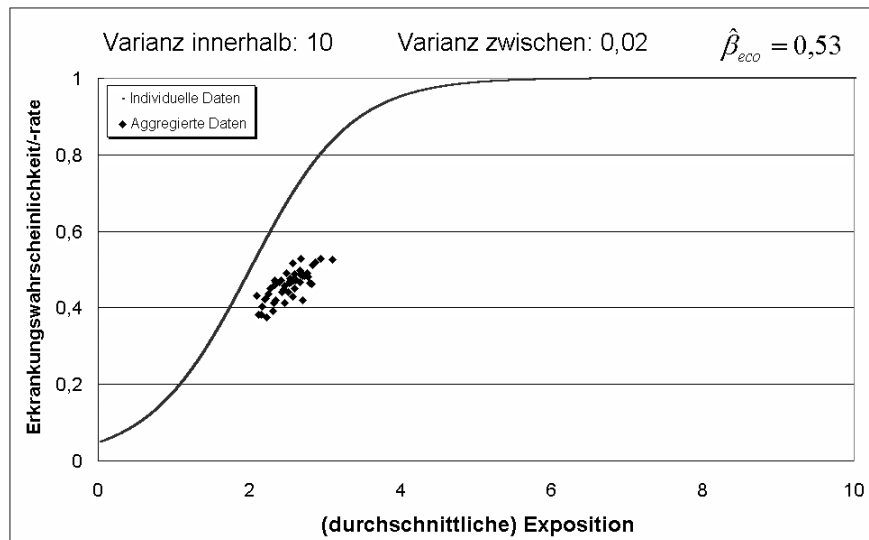


Abbildung 29: Plot der (durchschnittlichen) Exposition gegen die Erkrankungswahrscheinlichkeit/-rate für „wahren“ Risikoparameter mit Wert 1,5 und Baseline-Erkrankungswahrscheinlichkeit mit Wert 0,05

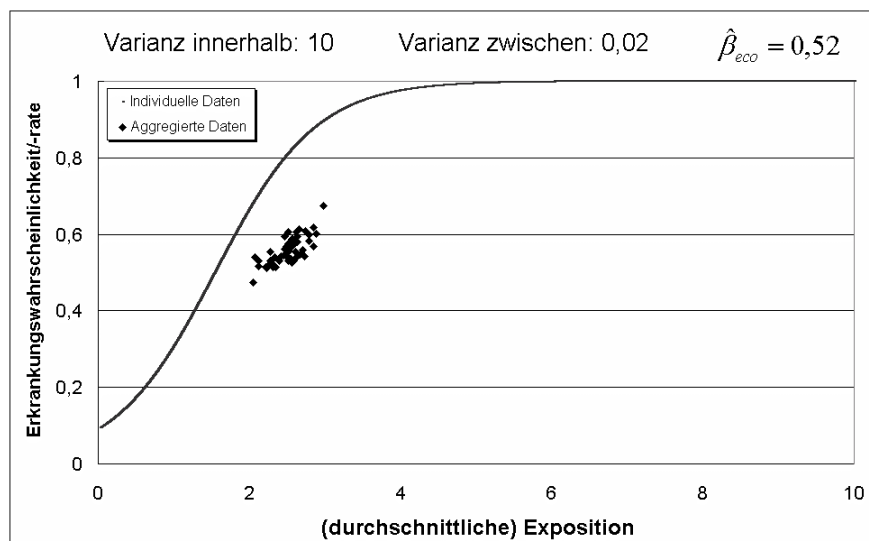


Abbildung 30: Plot der (durchschnittlichen) Exposition gegen die Erkrankungswahrscheinlichkeit/-rate für „wahren“ Risikoparameter mit Wert 1,5 und Baseline-Erkrankungswahrscheinlichkeit mit Wert 0,10

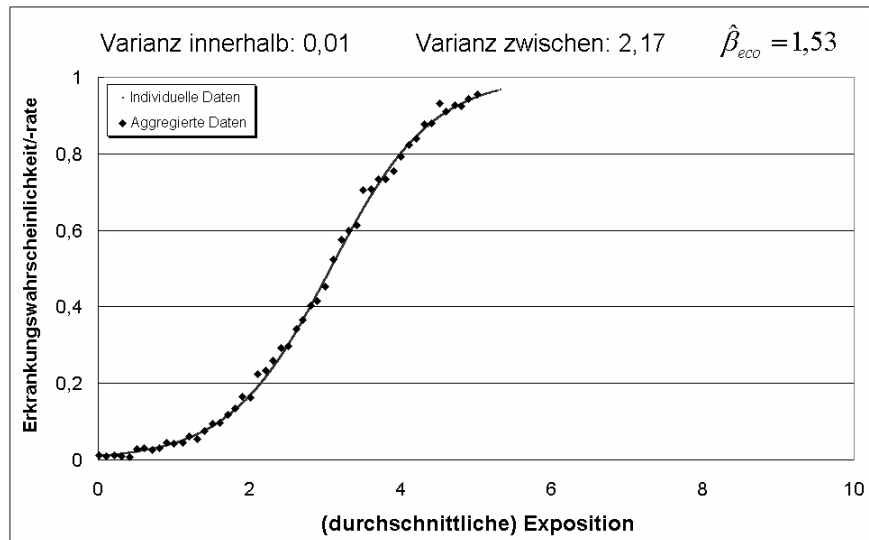


Abbildung 31: Plot der (durchschnittlichen) Exposition gegen die Erkrankungswahrscheinlichkeit/-rate für „wahren“ Risikoparameter mit Wert 1,5 und Baseline-Erkrankungswahrscheinlichkeit mit Wert 0,01

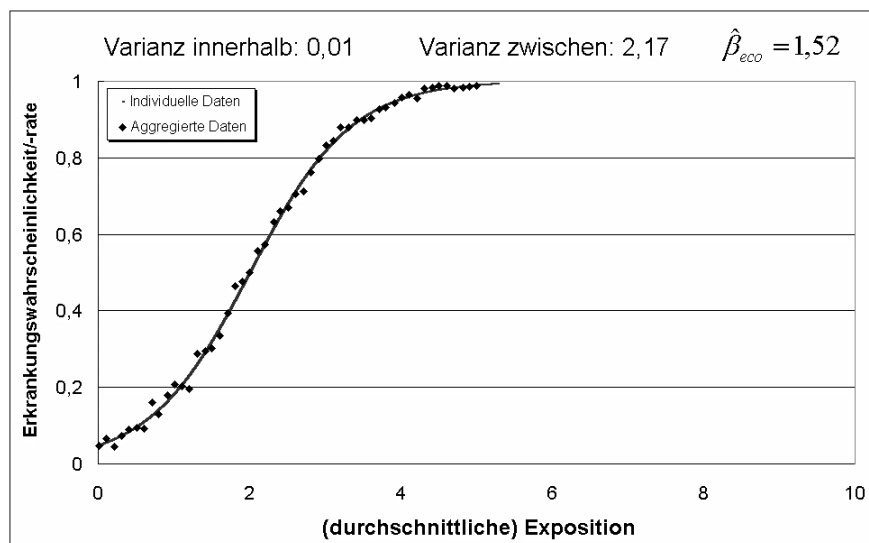


Abbildung 32: Plot der (durchschnittlichen) Exposition gegen die Erkrankungswahrscheinlichkeit/-rate für „wahren“ Risikoparameter mit Wert 1,5 und Baseline-Erkrankungswahrscheinlichkeit mit Wert 0,05

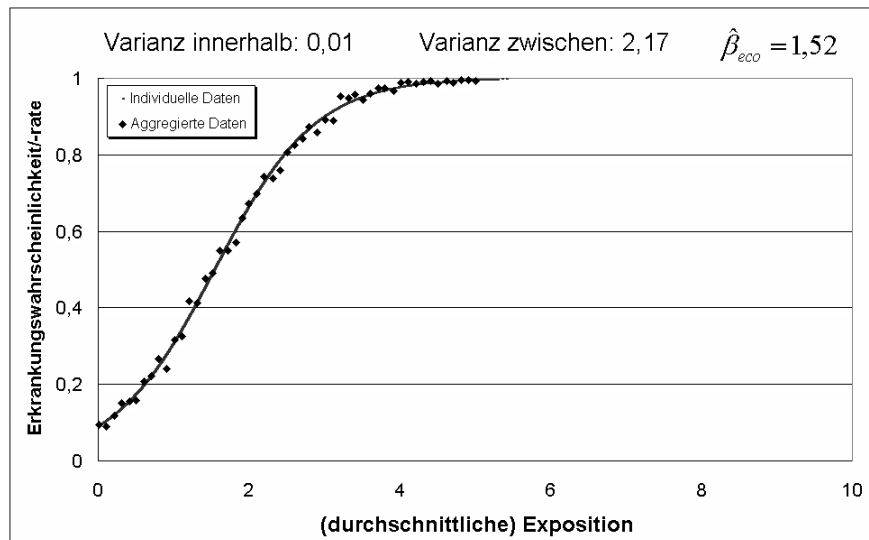


Abbildung 33: der (durchschnittlichen) Exposition gegen die Erkrankungswahrscheinlichkeit/-rate für „wahren“ Risikoparameter mit Wert 1,5 und Baseline-Erkrankungswahrscheinlichkeit mit Wert 0,10

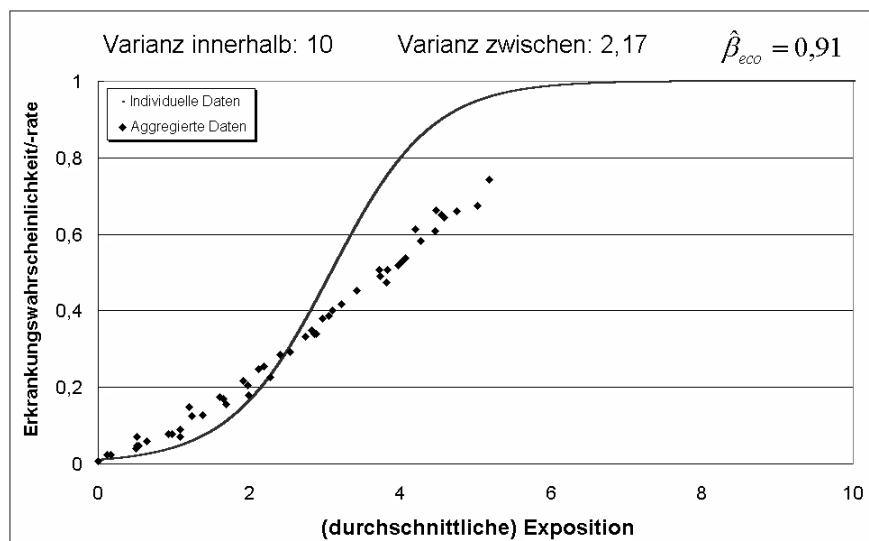


Abbildung 34: Plot der (durchschnittlichen) Exposition gegen die Erkrankungswahrscheinlichkeit/-rate für „wahren“ Risikoparameter mit Wert 1,5 und Baseline-Erkrankungswahrscheinlichkeit mit Wert 0,01

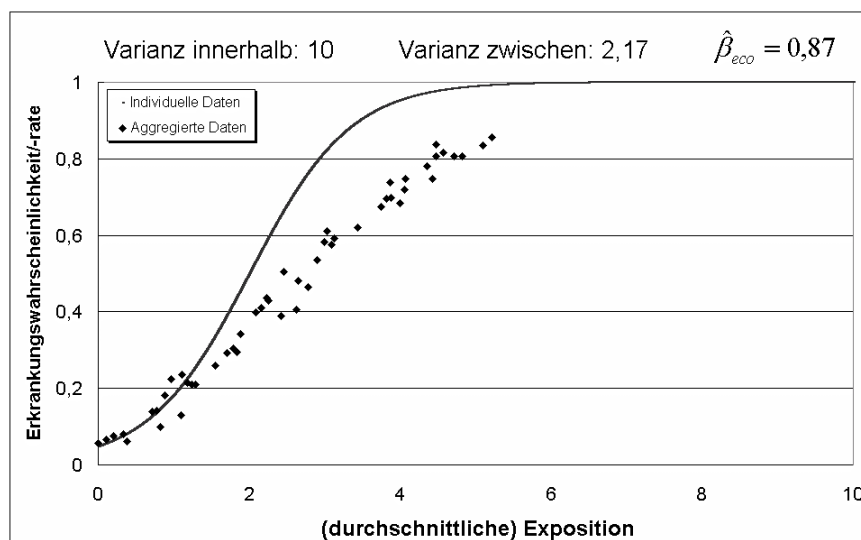


Abbildung 35: Plot der (durchschnittlichen) Exposition gegen die Erkrankungswahrscheinlichkeit/-rate für „wahren“ Risikoparameter mit Wert 1 und Baseline-Erkrankungswahrscheinlichkeit mit Wert 0,05

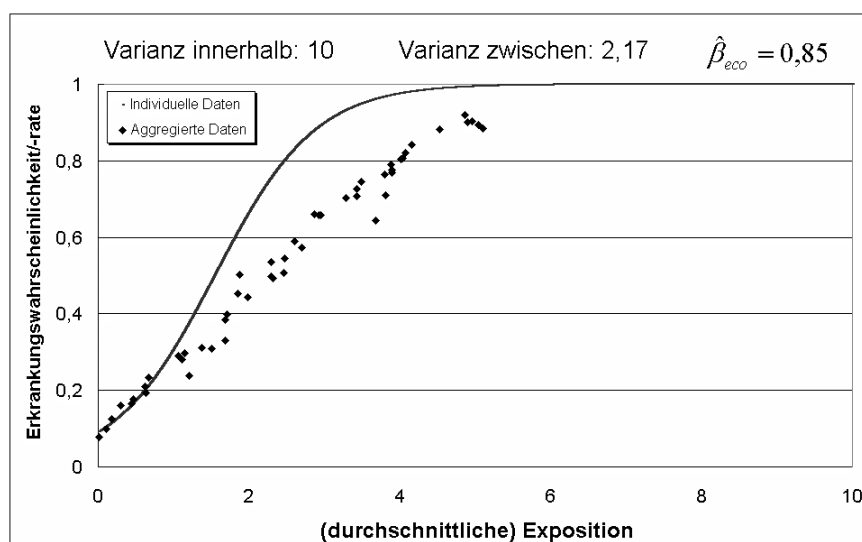


Abbildung 36: Plot der (durchschnittlichen) Exposition gegen die Erkrankungswahrscheinlichkeit/-rate für „wahren“ Risikoparameter mit Wert 1,5 und Baseline-Erkrankungswahrscheinlichkeit mit Wert 0,10